







SPRAWOZDANIE NR 12/OS/0274/26

Z POMIARÓW NATĘŻENIA PÓL ELEKTROMAGNETYCZNYCH

WYKONANYCH DLA CELÓW OCHRONY ŚRODOWISKA

Miejsce wykonania badania:	OPO7123C	
	45-236 Gosławice, dz. nr 194/3 , pow. Opole, woj. OPOLSKIE	
Współrzędne geograficzne:	50°41'59.31"N, 17°57'08.90"E	
Data Zlecenia:	25.06.2026	
Data wykonania pomiarów:	29.06.2026	
Data wydania sprawozdania:	02.07.2026	
Zleceniodawca:	P4 sp. z o.o. ul. Wynałazek 1 02-667 Warszawa	
Sprawozdanie wykonał:	Sprawdził:	Autoryzował:
 Specjalista ds. analiz i wizualizacji wyników	 Kierownik Laboratorium	  Kierownik ds. jakości

1. INFORMACJE O UŻYTKOWNIKU ¹

- **Zleceniodawca:** P4 sp. z o.o. ul. Wynalazek 1, 02-667 Warszawa
- **Typ obiekt:** Instalacja radiokomunikacyjna zainstalowana na wieży kratowej
- **Numer obiektu:** OPO7123C
- **Adres obiektu:** 45-236 Gosławice, dz. nr 194/3, pow. Opole, woj. OPOLSKIE
- **Współrzędne geograficzne:** 50°41'59.31"N, 17°57'08.90"E

2. CHARAKTERYSTYKA ŹRÓDEŁ PEM ¹

Tabela 1. Parametry systemu nadawczo-odbiorczego

Charakterystyka promieniowania				kierunkowa					
Rzeczywisty czas pracy [h/dobę]				Całodobowa 24h					
Warunki pracy				Znamionowe					
Rodzaj wytwarzanego pola				stacjonarne					
Lp.	Typ nadajnika	Antena Producent / Typ	Azymut [°]	Wysokość środkła elektr. anteny [m n.p.t.]	Pasma [Mhz]	Kąt nachylenia [°]	EIRP dla anteny [W]	LON	LAT
1	RBS6xxx/2xxx/4xxx	Huawei AQU4518R24	110	47	800	0 - 10	15164	17°57'08.90"E	50°41'59.31"N
	900				0 - 10	17°57'08.90"E		50°41'59.31"N	
	2600				2 - 12	17°57'08.90"E		50°41'59.31"N	
2	RBS6xxx/2xxx/4xxx	Huawei ATR4518R6	110	47	1800	0 - 10	16474	17°57'08.90"E	50°41'59.31"N
	RBS6xxx/2xxx/4xxx				2100	0 - 10		17°57'08.90"E	50°41'59.31"N
3	RBS6xxx/2xxx/4xxx	Huawei AQU4518R24	230	47	800	0 - 10	15164	17°57'08.90"E	50°41'59.31"N
	RBS6xxx/2xxx/4xxx				900	0 - 10		17°57'08.90"E	50°41'59.31"N
	RBS6xxx/2xxx/4xxx				2600	2 - 12		17°57'08.90"E	50°41'59.31"N
4	RBS6xxx/2xxx/4xxx	Huawei ATR4518R6	230	47	1800	0 - 10	16474	17°57'08.90"E	50°41'59.31"N
	RBS6xxx/2xxx/4xxx				2100	0 - 10		17°57'08.90"E	50°41'59.31"N
5	RBS6xxx/2xxx/4xxx	Huawei AQU4518R24	340	47	800	0 - 10	15164	17°57'08.90"E	50°41'59.31"N
	RBS6xxx/2xxx/4xxx				900	0 - 10		17°57'08.90"E	50°41'59.31"N
	RBS6xxx/2xxx/4xxx				2600	2 - 12		17°57'08.90"E	50°41'59.31"N
6	RBS6xxx/2xxx/4xxx	Huawei ATR4518R6	340	47	1800	0 - 10	16474	17°57'08.90"E	50°41'59.31"N
	RBS6xxx/2xxx/4xxx				2100	0 - 10		17°57'08.90"E	50°41'59.31"N

¹ Dane pozyskane od Klienta

Tabela 2. Parametry radiolinii

Charakterystyka promieniowania				kierunkowa					
Rzeczywisty czas pracy [h/dobę]				24					
Rodzaj wytwarzanego pola				stacjonarne					
Linia radiowa				Antena					
Lp	Typ nadajnika	Częstotliwość pracy [GHz]	Moc wyjściowa [dBm]	Typ/producent	Średnica anteny [m]	Azymut [°]	Wysokość zainstal. [m]	LON	LAT
1	MINI-LINK/ERICSSON	80	18	0.6-80(ANT2 B 0.6 80 HP)	0,6	140	45	17°57'08.9 0"E	50°41'59.31 "N

Inne źródła PEM: W obszarze pomiarowym badanego obiektu **nie występują** inne źródła promieniowania pola elektromagnetycznego, które w zakresie badanych częstotliwości bezpośrednio wpływają na wynik wartości mierzonej natężenia pola.

3. OPIS POMIARÓW

Cel badań: Sprawdzenie dotrzymania dopuszczalnych poziomów pól elektromagnetycznych, w otoczeniu instalacji wytwarzających takie pola.

3.1. Data oraz warunki pomiarów

Data pomiarów	Godzina		Opady	Temperatura [C]		Wilgotność [%]	
	rozpoczęcia pomiarów	zakończenia pomiarów		Minimalna	Maksymalna	Minimalna	Maksymalna
29.06.2026	14:00	15:30	Brak	30,8	30,9	51,5	51,6

3.2. Aparatura pomiarowa:

Tabela 3. Opis zestawu pomiarowego

Nazwa	Typ/model	Numer fabryczny/SN	Świadectwo wzorcowania	Zastosowanie
Szerokopasmowy miernik natężenia pola elektromagnetycznego	FieldMan	B-0098	LWiMP/W/083/26 z dnia 26.02.2026 (Laboratorium Wzorców i Metrologii Pola Elektromagnetycznego Instytutu Telekomunikacji, Teleinformatyki i Akustyki Politechniki Wrocławskiej)	Pomiary pola elektromagnetycznego
Sonda pomiarowa pola elektrycznego	EFD-6091	A-0071		
Szerokopasmowy miernik natężenia pola elektromagnetycznego	NBM- 520	D-2187	LWiMP/W/406/24 z dnia 15.11.2024 (Laboratorium Wzorców i Metrologii Pola Elektromagnetycznego Instytutu Telekomunikacji, Teleinformatyki i Akustyki Politechniki Wrocławskiej)	Pomiary pola elektromagnetycznego
Sonda pomiarowa pola elektrycznego	EF-0691	J-0201		
Termohigrometr	Termioplus	190724	3423/2024 z dnia 03.09.2024 (Instytut Energetyki - Państwowy Instytut Badawczy)	Pomiary wilgotności względnej powietrza Pomiary temperatury powietrza
Odbiornik GPS	Garmin GLO2	1792A-A1156/5PS076430	-	Pomiar współrzędnych geograficznych

3.3. Wyznaczenie niepewności pomiarów:

Ocenę niepewności przyjmuje się zgodnie z procedurą stosowaną w laboratorium.

Wyznaczona rozszerzona niepewność pomiaru dla współczynnika rozszerzenia $k = 2$ dla zestawu pomiarowego z pkt.3.2 w dniu pomiaru wynosi 58,67%.

3.4. Kryteria przedstawiania stwierdzeń zgodności

Niniejsze sprawozdanie zgodnie z zasadami systemu akredytacji zawiera stwierdzenia zgodności.

W przypadku badań poziomów pola elektromagnetycznego w środowisku stwierdzenie zgodności dotyczy rozstrzygnięcia, czy zmierzona wartość opisująca pole elektromagnetyczne przekracza wartość dopuszczalną dla zakresu częstotliwości, w którym pracują źródła podaną w Rozporządzeniu Ministra Zdrowia z dnia 17 grudnia 2019 r. w sprawie dopuszczalnych poziomów pól elektromagnetycznych w środowisku (Dz. U. z 2019 r. poz. 2448).

3.5. Metodyka wykonania pomiarów:

Zastosowano metodę znormalizowaną w oparciu o Rozporządzenie Ministra Klimatu i Środowiska z dnia 6 maja 2022 r. zmieniające rozporządzenie w sprawie sposobów sprawdzania dotrzymania dopuszczalnych poziomów pól elektromagnetycznych w środowisku (Dz.U. 2022 poz. 1121).

3.6. Przepisy prawne:

- Ustawa z dnia 27 kwietnia 2001 r. Prawo ochrony środowiska (Dz.U. 2024 r. poz. 834).
- Rozporządzenie Ministra Zdrowia z dnia 17 grudnia 2019 r. w sprawie dopuszczalnych poziomów pól elektromagnetycznych w środowisku (Dz. U. z 2019 r. poz. 2448).
- Rozporządzenie Ministra Klimatu z dnia 17 lutego 2020 r. w sprawie sposobów sprawdzania dotrzymania dopuszczalnych poziomów pól elektromagnetycznych w środowisku Załącznik do obwieszczenia Ministra Klimatu i Środowiska z dnia 21 listopada 2022 r. (Dz. U. poz. 2630).

3.7. Opis pomiarów

Stacja bazowa OPO7123C usytuowana jest na wieży kratowej zlokalizowanej pod adresem 45-236 Gostawice, dz. nr 194/3, pow. Opole, woj. OPOLSKIE. Anteny i moduły RRU zamontowane są na antenowych konstrukcjach wsporczych a urządzenia są w szafie APM zainstalowanej u podnóża wieży. W otoczeniu stacji zlokalizowana jest zabudowa jednorodzinna oraz pola uprawne. Analiza parametrów technicznych wykazała, że urządzenia nadawcze stacji pracują w paśmie częstotliwości zgodnie z tabelą 1 oraz tabelą 2. Moc wyjściowa nadajników doprowadzona jest do anten przy pomocy ekranowanych fiderów.

Pomiary w otoczeniu stacji bazowej wykonano wzdłuż kierunków maksymalnego zasięgu oddziaływania pola elektromagnetycznego na kierunkach osi głównych wiązek anten sektorowych do odległości określonej zgodnie z wytycznymi zawartymi w instrukcji wykonywania pomiarów, podczas rzeczywistej pracy urządzeń wytwarzających pola elektromagnetyczne.

Pomiary wykonano dla średniego pochylecia wiązki liczonego jako średnia arytmetyczna z minimalnej i maksymalnej wartości stosowanego lub planowanego kąta pochylecia. Średnie wartości tilt ustawiane są przez Klienta. W przypadku, gdy na danym azymucie zainstalowano kilka anten, średnia wartości tilt ustawiona jest jednakowa dla wszystkich anten. Przyjmuje się najgorszą wartość spośród anten zainstalowanych na danym kierunku.

Pomiary w przyjętych pionach pomiarowych wykonano w punktach położonych na wysokościach od 0,3 m do 2,0 m nad powierzchnią ziemi lub nad innymi powierzchniami, na których mogą przebywać ludzie, przyjmując za wynik pomiaru maksymalny poziom natężenie pól elektromagnetycznego.

Pomiary wykonano w dodatkowych pionach pomiarowych w lokalach oraz na balkonach i tarasach, na których mogą przebywać ludzie, po poinformowaniu o planowanych pomiarach z minimum 3-dniowym wyprzedzeniem i po umożliwieniu dostępu do lokalu, balkonu lub tarasu przez jego dysponenta lub bez zachowania terminu wskazanego w pierwszej części zdania za zgodą dysponenta przestrzeni pomiarowej.

Punkty pomiarowe wewnątrz budynków oraz na tarasach/balkonach wyznaczono na podstawie przeprowadzonych obliczeń rozkładu pola elektromagnetycznego. Jako wartość graniczną do wyznaczenia odległości zasięgu pola elektromagnetycznego przyjęto wartość 9 V/m. Jest to wartość wypadkowa po uwzględnieniu współczynników odpowiadającym emisji z obcych źródeł promieniowania elektromagnetycznego oraz efekt odbicia fal radiowych. Obliczenia te wykonywane są uwzględniając parametry systemu antenowego dostarczone przez Klienta, W tym obszarze pomiary w budynkach wykonywane są obligatoryjnie. Jeżeli w ww. obszarze nie zlokalizowano żadnych budynków dodatkowo wyznaczono reprezentatywne budynki, wewnątrz których wykonano dodatkowe pomocnicze punkty pomiarowe.

Przy doborze pionów pomiarowych uwzględniono charakter i sposób zagospodarowania terenu otaczającego stację bazową.

3.8. Sposób identyfikacji widma częstotliwości:

Parametry stacji bazowej uzyskane od właściciela instalacji stacji bazowej.

4. WYNIKI POMIARÓW

Wyniki pomiarów ważne są jedynie dla danej konfiguracji urządzeń w dniu, w którym wykonano pomiary.

Wynik pomiaru, to maksymalna wartości chwilowa zmierzona w danym pionie pomiarowym powiększona o rozszerzoną niepewność pomiaru U dla współczynnika rozszerzenia $k = 2$ (dla poziomu ufności 95%).

Tabela 4. Dopuszczalne poziomy pól elektromagnetycznych

Parametr fizyczny Zakres częstotliwości pola elektromagnetycznego	Składowa elektryczna	Składowa magnetyczna
od 400 MHz do 2000 MHz	$1,375 \times f^{0,5}$ V/m	$0,00375 \times f^{0,5}$ A/m
Od 2 GHz do 300 GHz	61 V/m	0,16 A/m

Do wyznaczania wartości wskaźnikowych WM_E i WM_H przyjęto najniższe wartości dopuszczalne poziomów pól elektromagnetycznych w/w zakresach częstotliwości.

Tabela 5. Wyniki pomiarów

Nr pionu	Opis miejsca pomiaru	Pomiar wewnątrz pomieszczenia	Współrzędne geograficzne		Wynik poniżej progu detekcji*	E_p [V/m]	U [V/m]	$E_p + U$ [V/m]	H [A/m]	WME	WMH	Przekroczenie wartości dopuszczalnej
			[°] E	[°] N								
1	Poziom gruntu - oś głównej wiązki anteny sektorowej azymut 110st	NIE	17,952784763	50,699765503	TAK	<0,80	0,47	1,27	0,003	0,05	0,046	nie przekracza
2	Poziom gruntu - oś głównej wiązki anteny sektorowej azymut 110st	NIE	17,954505983	50,699344135	TAK	<0,80	0,47	1,27	0,003	0,05	0,046	nie przekracza
3	Poziom gruntu - oś głównej wiązki anteny sektorowej azymut 110st	NIE	17,956579500	50,698887068	TAK	<0,80	0,47	1,27	0,003	0,05	0,046	nie przekracza
4	Poziom gruntu - oś głównej wiązki anteny radioliniowej azymut 140st	NIE	17,953385577	50,699124166	TAK	<0,80	0,47	1,27	0,003	0,05	0,046	nie przekracza
5	Poziom gruntu - oś głównej wiązki anteny sektorowej azymut 340st	NIE	17,952414416	50,699923555	TAK	<0,80	0,47	1,27	0,003	0,05	0,046	nie przekracza
6	Poziom gruntu - oś głównej wiązki anteny sektorowej azymut 340st	NIE	17,952026547	50,700610484	TAK	<0,80	0,47	1,27	0,003	0,05	0,046	nie przekracza
7	Poziom gruntu - oś głównej wiązki anteny sektorowej azymut 340st	NIE	17,951288516	50,701919760	TAK	<0,80	0,47	1,27	0,003	0,05	0,046	nie przekracza
8	Poziom gruntu - oś głównej wiązki anteny sektorowej azymut 340st	NIE	17,950892606	50,702537449	TAK	<0,80	0,47	1,27	0,003	0,05	0,046	nie przekracza
9	Poziom gruntu - oś głównej wiązki anteny sektorowej azymut 230st	NIE	17,951667965	50,699383563	TAK	<0,80	0,47	1,27	0,003	0,05	0,046	nie przekracza
10	Poziom gruntu - oś głównej wiązki anteny sektorowej azymut 230st	NIE	17,951248864	50,699157744	TAK	<0,80	0,47	1,27	0,003	0,05	0,046	nie przekracza
11	Poziom gruntu - oś głównej wiązki anteny sektorowej azymut 230st	NIE	17,950618133	50,698826881	TAK	<0,80	0,47	1,27	0,003	0,05	0,046	nie przekracza
12	Poziom gruntu - oś głównej wiązki anteny sektorowej azymut 110st	NIE	17,953369774	50,699576616	TAK	<0,80	0,47	1,27	0,003	0,05	0,046	nie przekracza
13	Poziom gruntu - pomocniczy pion pomiarowy	NIE	17,955814272	50,698589004	TAK	<0,80	0,47	1,27	0,003	0,05	0,046	nie przekracza
14	Poziom gruntu - pomocniczy pion pomiarowy	NIE	17,954081996	50,699165605	TAK	<0,80	0,47	1,27	0,003	0,05	0,046	nie przekracza

Nr pionu	Opis miejsca pomiaru	Pomiar wewnątrz pomieszczenia	Współrzędne geograficzne		Wynik poniżej progu detekcji*	E_p [V/m]	U [V/m]	$E_p + U$ [V/m]	H [A/m]	WME	WMH	Przekroczenie wartości dopuszczalnej
			[°] E	[°] N								
15	Poziom gruntu - oś głównej wiązki anteny radioliniowej azymut 140st	NIE	17,952789410	50,699556843	TAK	<0,80	0,47	1,27	0,003	0,05	0,046	nie przekracza
16	Poziom gruntu - oś głównej wiązki anteny radioliniowej azymut 140st	NIE	17,953228506	50,699228320	TAK	<0,80	0,47	1,27	0,003	0,05	0,046	nie przekracza
17	Poziom gruntu - oś głównej wiązki anteny sektorowej azymut 230st	NIE	17,952279893	50,699701511	TAK	<0,80	0,47	1,27	0,003	0,05	0,046	nie przekracza
18	Poziom gruntu - oś głównej wiązki anteny sektorowej azymut 340st	NIE	17,952281541	50,700141983	TAK	<0,80	0,47	1,27	0,003	0,05	0,046	nie przekracza
19	Poziom gruntu - pomocniczy pion pomiarowy	NIE	17,951300186	50,700711336	TAK	<0,80	0,47	1,27	0,003	0,05	0,046	nie przekracza
20	Poziom gruntu - pomocniczy pion pomiarowy	NIE	17,950780749	50,700871682	TAK	<0,80	0,47	1,27	0,003	0,05	0,046	nie przekracza
21	Poziom gruntu - oś głównej wiązki anteny sektorowej azymut 340st	NIE	17,951810640	50,700953750	TAK	<0,80	0,47	1,27	0,003	0,05	0,046	nie przekracza
22	Poziom gruntu - oś głównej wiązki anteny sektorowej azymut 230st	NIE	17,951528460	50,701441419	TAK	<0,80	0,47	1,27	0,003	0,05	0,046	nie przekracza
23	Poziom gruntu - pomocniczy pion pomiarowy	NIE	17,952145656	50,699466728	TAK	<0,80	0,47	1,27	0,003	0,05	0,046	nie przekracza
24	Poziom gruntu - pomocniczy pion pomiarowy	NIE	17,952322516	50,699246268	TAK	<0,80	0,47	1,27	0,003	0,05	0,046	nie przekracza
25	Poziom gruntu - oś głównej wiązki anteny sektorowej azymut 230st	NIE	17,949931138	50,698449399	TAK	<0,80	0,47	1,27	0,003	0,05	0,046	nie przekracza
26	Poziom gruntu - oś głównej wiązki anteny sektorowej azymut 230st	NIE	17,948979505	50,697945763	TAK	<0,80	0,47	1,27	0,003	0,05	0,046	nie przekracza

Objaśnienia:

$$E_p: E_{poprawne} = E_{wskazane} * C_{d(E)} * C_{f(f)}$$

$E_{wskazane}$ - zmierzona maksymalna wartość chwilowa natężenia pola elektrycznego

$C_{d(E)}$ – charakterystyka dynamiczna sondy – zgodna ze świadectwem wzorcowania

$C_{f(f)}$ – charakterystyka częstotliwościowa sondy – zgodna ze świadectwem wzorcowania

H – wyznaczona wartość natężenia pola magnetycznego z uwzględnieniem współczynnika korekcyjnego oraz rozszerzonej niepewności pomiaru.

WME - wartość wskaźnikowa poziomu oddziaływania pól elektromagnetycznych dla miejsc dostępnych dla ludności dla składowej elektrycznej pola.

WMH - wartość wskaźnikowa poziomu oddziaływania pól elektromagnetycznych dla miejsc dostępnych dla ludności dla składowej magnetycznej pola.

* Wynik poniżej progu detekcji - wartość zmierzona poniżej zakresu akredytacji. Do obliczeń przyjęto wartość zgodną z dolną granicą akredytowanego zakresu pomiarowego metody.

Dobór pionów pomiarowych zlokalizowanych wewnątrz budynków oraz na tarasach/balkonach, w których wykonano dodatkowe pomiary, wyznaczono na podstawie przeprowadzonych obliczeń rozkładu pola elektromagnetycznego zgodnie z wewnętrznymi procedurami laboratorium.

** - Brak dostępu.

5. WNIOSKI

Stwierdza się, iż na podstawie uzyskanych wyników pomiarów i informacji uzyskanych od operatora, w otoczeniu stacji bazowej telefonii komórkowej OPO7123C w miejscach dostępnych dla ludności, w których dokonano pomiaru, nie zostały przekroczone wartości graniczne poziomów pól elektromagnetycznych określonych w Rozporządzeniu Ministra Zdrowia z dnia 17 grudnia 2019 r. w sprawie dopuszczalnych poziomów pól elektromagnetycznych w środowisku (Dz. U. z 2019 r. poz. 2448).

Stwierdzenie zgodności zostało przedstawione na podstawie wyników badań oraz informacji uzyskanych od Klienta (za które Laboratorium nie ponosi odpowiedzialności) dla instalacji opisanej w punkcie 2. Stwierdzenia zgodności dokonano na podstawie zasady podejmowania decyzji i wymagań zawartych w załączniku do Rozporządzenia Ministra Klimatu z dnia 17 lutego 2020 r. w sprawie sposobów sprawdzania dotrzymania dopuszczalnych poziomów pól elektromagnetycznych w środowisku (Dz.U. 2022 poz. 2630 z 15.12.2022r.).

- Sprawozdanie zawiera 9 stron
- Załączniki: nr 1 – mapa z rozmieszczeniem pionów pomiarowych wokół obiektu
- Otrzymują:
 1. Zleceniodawca: - 1 egz.
 2. a / a: 1 egz.

Bez pisemnego zezwolenia laboratorium Eko-Connect Sp. z o.o. sprawozdanie nie może być powielane inaczej, jak tylko w całości.

KONIEC SPRAWOZDANIA



- Legenda:**
- - Punkty (piony) pomiarowe
 - - Punkty (piony) pomiarowe wewnątrz budynku
 - - Punkty (piony) brak dostępu do wnętrza budynku
 - - Główny kierunek pomiarowy anteny sektorowej
 - - Główny kierunek pomiarowy anteny radioliniowej
 - - - - Pomocniczy kierunek pomiarowy anteny sektorowej
 - - Badana instalacja radiokomunikacyjna (P4 Sp. z o.o.)
 - - Obca instalacja radiokomunikacyjna (Orange POLSKA S.A.)
 - - Obca instalacja radiokomunikacyjna (Towerlink Sp. z o.o.)
 - - Obca instalacja radiokomunikacyjna (T-Mobile Polska S.A.)

EKO-CONNECT <small>Laboratorium Badawcze Pól Elektromagnetycznych</small>		Laboratorium Badawcze Eko-Connect Sp. z o.o. 60-591 POZNAŃ, ul. MIODOWA 14A	
Obiekt:	Instalacja radiokomunikacyjna OPO7123C, 45-236 Gostawice, dz. nr 194/3, pow. Opole, woj. OPOLSKIE	Wykonał:	XXXXXXXXXX
Inwestor:	P4 Sp. z o.o. ul. Wynałazek 1	Sprawdził:	XXXXXXXXXX
Nazwa projektu	Sprawozdanie z pomiarów natężenia pól elektromagnetycznych wykonanych dla celów ochrony środowiska	Nr sprawozdania:	
Nazwa rysunku	Rozmieszczenie pionów pomiarowych	12/OS/0274/26	
Nr rysunku	OPO7123C/1	Skala:	1:2000
		Data:	29.06.2026

